

## شیمی و دما فشارسنجی آمفیبولیت‌های مجموعه فاریاب، جنوب ایران

افسانه ناصری اسفندقه<sup>۱\*</sup>، محمد رهگشای<sup>۱</sup>، ساسان باقری<sup>۲</sup>

۱ - گروه زمین‌شناسی، دانشکده علوم زمین، دانشگاه شهید بهشتی، تهران، ایران

۲ - گروه زمین‌شناسی، دانشکده علوم پایه، دانشگاه سیستان و بلوچستان، زاهدان، ایران

(دریافت مقاله: ۱۴۰۲/۱/۱۶، نسخه نهایی: ۱۴۰۲/۴/۳)

**چکیده:** سنگ‌های دگرگونی مجموعه فاریاب بخشی از دگرگونه‌های مجموعه باجگان با سن کرتاسه پسین هستند که در جنوب شرق پهنه سندر-سیرجان، منطقه جنوب اسفندقه برونزد دارند. سنگ‌های دگرگونی مجموعه فاریاب که در رخساره‌های شیست سبز و آمفیبولیت دگرگون شده اند، شامل گارنت میکا شیست، اپیدوت شیست، اپیدوت آمفیبول شیست، آمفیبول شیست، اپیدوت-آمفیبولیت، آمفیبولیت و گارنت آمفیبولیت هستند. کانی‌های تشکیل‌دهنده آمفیبولیت‌ها گارنت، آمفیبول، اپیدوت، پلاژیوکلاز، کوارتز و کانی‌های ثانویه چون کلریت و اسفن و کانی‌های فرعی تیتانیت و مگنتیت هستند. ترکیب بلورهای آمفیبول در آمفیبولیت و اپیدوت آمفیبولیت‌های منطقه از نوع کلسیمی و شیمی آنها از مگنزیم هورنبلند و در برخی از آمفیبولیت‌ها، فروچرماکیت-هورنبلند و همچنین در گروه فروپاراگاسیت هورنبلند، فروادیت هورنبلند و فروادیت متغیر است. شیمی ترکیب پلاژیوکلاز در گستره آلبیت تا الیگوکلاز قرار دارد. سنگ مادر بیشتر آمفیبولیت‌ها و اپیدوت آمفیبولیت‌های مجموعه فاریاب با رخداد کانی‌های شاخص در متابازیت‌ها تعریف شده و به صورت بازالت و گابرو در نظر گرفته می‌شود. روش‌های مختلف دما-فشار سنجی بیشترین دما (T) و فشار (P) را برای آمفیبولیت‌های کنار پریدوتیت‌ها نشان می‌دهند که در بخش شمالی مجموعه قرار دارند و ۷۰۰ درجه سانتی گراد و ۹/۷ کیلو بار هستند. با دور شدن از مرز پریدوتیت‌ها در واحدهای ساختاری پایین‌تر و در بخش جنوبی مجموعه فاریاب، دما و فشار در سنگ‌های آمفیبولیت و اپیدوت آمفیبولیت به طور میانگین تا ۵۱۰ درجه سانتی گراد و ۴/۳۴ کیلو بار کاهش می‌یابد که نشانگر شروع رخساره آمفیبولیت تا گستره آمفیبولیت میانی است. مسیرهای P-T همراه با خطوط هم‌درجه نزدیک به هم بیانگر شیب زمین گرمایی بالا حتی در ابتدای دگرگونی است. شیمی کانی و نتایج دما فشارسنجی در کنار جایگاه زمین ساختی مجموعه فاریاب در پهنه سندر-سیرجان می‌توانند گویای یک مجموعه افزایشی-فرورانشی در یک پهنه فرورانشی نئوتتیس در زمان کرتاسه پسین باشند که شیبی به سمت شمال دارد و باعث شده است که سنگ‌های با دما و فشار بالاتر روی انواع کم عمق‌تر قرار گیرند.

**واژه‌های کلیدی:** مجموعه فاریاب؛ شیمی کانی؛ آمفیبولیت؛ اپیدوت آمفیبولیت؛ مجموعه باجگان؛ پهنه سندر-سیرجان.

## مقدمه

دگرگونی شامل تغییرهایی است که سبب بازآرایی عناصر سنگ در مقیاس اتمی می‌شود و در واقع، مجموعه به هم پیوسته‌ای از تغییرهای کانی‌شناسی، شیمیایی و بافتی است که به طور عمده در حالت جامد در سنگ روی می‌دهد. این رخدادها ناشی از تغییر دما، فشار و ترکیب شیمیایی هستند [۲، ۱]. بررسی دقیق

مناطق دگرگونی بدون دانستن مبانی ترمودینامیکی سنگ‌های دگرگونی ممکن نیست [۳]. بررسی سیر تکاملی سنگ‌های دگرگونی در واقع پیگیری تکامل کانی‌ها و روابط تعادلی میان آنهاست. پی بردن به تغییرهای مناطق دگرگونی نیازمند بررسی دقیق روابط صحرایی، همبرزایی کانی‌های موجود، بررسی‌های میکروسکوپی و پردازش داده‌های تجزیه شیمیایی

\*نویسنده مسئول، تلفن: ۰۹۱۵۸۴۸۶۱۷۲، پست الکترونیکی: naseri.a1986@gmail.com

JSM-6510LA مجهز به طیف‌سنج پراکندگی انرژی پرتوی ایکس (EDX) JED-2200 با ولتاژ شتاب دهنده ۲۰ کیلو ولت و جریان ۱ نانو آمپر، با پرتو با قطر ۲-۱ میلی‌متر تجزیه و بررسی شدند.

#### زمین‌شناسی

مجموعه فاریاب شامل واحد غالب دگرگونی و واحد سنگی فرامافیک در شرق شهرستان فاریاب واقع در جنوب استان کرمان، در طول‌های جغرافیایی  $57^{\circ}11'$  تا  $57^{\circ}40'$  و عرض‌های جغرافیایی  $27^{\circ}55'$  تا  $28^{\circ}07'$  با حدود ۴۰ کیلومتر طول و ۲۰ کیلومتر عرض رخنمون دارد (شکل ۱). این مجموعه در دورترین بخش جنوب شرقی پهنه سنندج-سیرجان قرار دارد که از جنوب شرق با افیولیت‌های کهنوج و گنج، از جنوب با پهنه مکران، از جنوب غرب با پهنه زاگرس و از شمال با واحدهای دگرگونی آبشویی (آبشور) در بر گرفته شده است (شکل ۲).

با توجه به تصاویر ماهواره‌ای (شکل ۱)، نقشه‌های سازمان زمین‌شناسی ایران (نقشه‌های ۱:۲۵۰۰۰۰ میناب [۸] و سبزواران [۹]) و نقشه زمین‌شناسی تهیه شده از منطقه مورد بررسی (شکل ۳)، بیشترین حجم مجموعه‌های سنگی موجود در مجموعه فاریاب مربوط به سنگ‌های دگرگونی است که با گسل‌های روراندگی از سنگ‌های فرامافیک بالایی خود (از دیدگاه ساختاری و نه چینه‌شناسی) مجزا شده‌اند.

با بررسی‌های صحرایی انجام شده بر دگرگونی‌های مجموعه فاریاب، شیست‌ها و یا شیست‌های سبز با درجه‌های بالای دگرگونی شناسایی شدند. اپیدوت شیست با رنگ سبز و رگه‌های سیلیسی چین‌خورده درون آن، آمفیبول شیست‌ها و گارنت-آمفیبول شیست‌ها با دانه‌های درشت گارنت از مهم‌ترین شیست‌های نمونه برداری شده در منطقه هستند. شیست‌ها به طور عمده با تورق و گاهی نیز بدون تورق شناسایی شده و همراه با تورق کنگره‌ای، ریز چین‌ها، چین‌های بزرگتر، گسل و درز و شکستگی‌های زمین‌ساختی فراوان دیده شدند. مجموعه‌های شیستی بیشتر به صورت توده‌ای رخنمون یافته‌اند. رگه‌های سیلیسی در طول مسیر پیمایش به صورت رگه‌هایی با قطر کوچک و بزرگ با واریزه‌های فراوان نمایان شده‌اند (شکل‌های ۳ الف و ب).

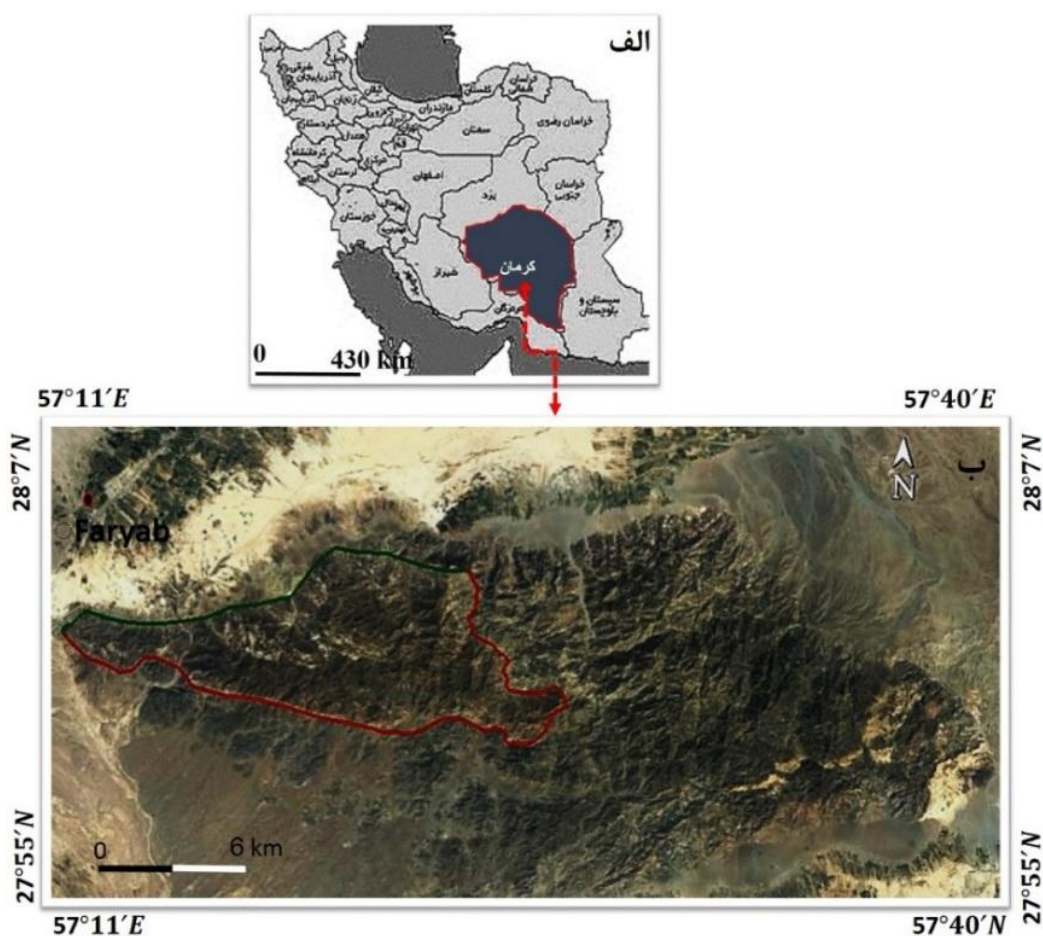
است. سرانجام با ترکیب داده‌های برآمده از بررسی‌های صحرایی، آزمایشگاهی و نتایج تجزیه‌های شیمیایی می‌توان تغییرهای رخ داده در مناطق دگرگونی را بازسازی کرد.

برخی از پژوهش‌های انجام شده مجموعه باجگان را یک مجموعه دگرگونی با سن ژوراسیک و یا قدیمی‌تر و برخی با سن کرتاسه پسین در نظر گرفته‌اند که شباهت بسیاری به سنگ‌های دگرگونی پهنه سنندج-سیرجان دارد [۴، ۵]. پهنه سنندج-سیرجان یک کمربند کوهزایی با روند شمال غرب است که درست در شمال پهنه جوش خورده زاگرس قرار دارد و نشان دهنده هسته دگرگونی منطقه برخورد عربی-اوراسیاست [۶]. مجموعه باجگان شامل آمفیبولیت، مرمر، سنگ‌های آهکی سیلیکاتی، شیست‌ها و سنگ‌های آتشفشانی دگرگون شده به همراه سنگ‌های نفوذی مافیک تا فلسیک است [۴، ۷]. واحد دگرگونی مجموعه فاریاب برپایه نقشه‌های سازمان زمین‌شناسی ایران (نقشه ۱:۲۵۰۰۰۰ میناب [۸] و سبزواران [۹]) به عنوان واحد دگرگونی مجموعه باجگان با سن کرتاسه پسین گزارش شده است و به صورت گسله در کنار سنگ‌های فرامافیک این منطقه قرار دارد. این واحد شامل آمفیبولیت، لوپکوابروی دگرگون شده بدون شیستوارگی و شیست‌های بازیک است. از دیدگاه ساختاری در بخش‌های پایین‌تر این منطقه، شیست‌های بازیک و به ندرت فیلیت و شیست آهکی و در پی آن سیلیکات آهکی به همراه شیست‌های پلیتی و بازیک حضور دارند.

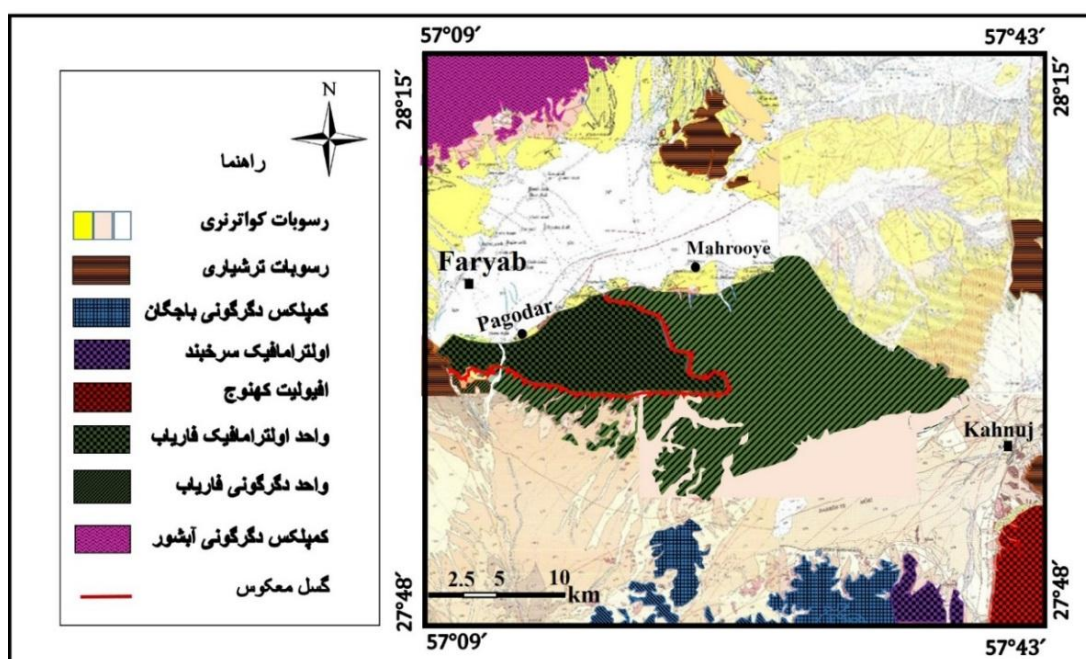
در این پژوهش، بررسی‌های صحرایی، سنگ‌نگاری، شیمی کانی‌ها، دما-فشارسنجی و مسیرهای P-T آمفیبولیت‌های مجموعه فاریاب در کنار سنگ‌های فرامافیک این منطقه انجام شده است.

#### روش بررسی

در پیمایش‌های صحرایی در مجموعه فاریاب، حدود ۱۵۰ نمونه از سنگ‌های دگرگونی این منطقه جمع‌آوری و برای بررسی‌های کانی‌شناسی، تعدادی مقاطع نازک و نازک صیقلی تهیه شده است. به منظور بررسی دقیق رفتار زمین‌شیمیایی عناصر اصلی در ساختار کانی‌ها و تعیین دما و فشار منطقه، کانی‌های تشکیل دهنده اصلی این سنگ‌ها انتخاب شده و در کشور روسیه در مؤسسه زمین‌شناسی و زمین‌زمان‌شناسی پرکامبرین IPG RASAS با میکروسکوپ الکترونی روبشی JEOL



شکل ۱ الف) موقعیت استان کرمان در نقشه ایران؛ ب) موقعیت مجموعه فاریاب در جنوب شهرستان فاریاب در تصویر گوگل ارس.



شکل ۲ نقشه زمین‌شناسی مجموعه فاریاب، برگرفته از نقشه‌های زمین‌شناسی ۱:۱۰۰۰۰۰ پاکدار [۱۰]، محمدآباد [۱۱]، کهنوج [۱۲] و نودز [۱۳]، انتشارات سازمان زمین‌شناسی ایران.





شکل ۳ واحدهای دگرگونی مجموعه فاریاب: الف) آمفیبولیت‌های کنار پریدوتیت‌ها، ب) تورق کنگره ای در اپیدوت آمفیبولیت‌ها، پ) ساخت دسته‌علفی در آمفیبولیت‌ها، ت) ساخت جهت یافتگی در آمفیبولیت‌ها، ث) تورق گنیسی در آمفیبولیت‌ها، ج) چین در اپیدوت آمفیبولیت‌ها و چ) دانه‌های درشت گارنت در گارنت آمفیبولیت‌های کنار پریدوتیت‌ها.

آمفیبول مشخص شده‌اند. همچنین ریزچین‌ها در سطوح این سنگ‌ها و چین‌های بزرگتر بسیار دیده می‌شوند (شکل‌های ۳ پ تا ج).

#### سنگ‌شناسی

اپیدوت-آمفیبولیت: این سنگ‌ها دارای بیشترین همبرزایی در منطقه مورد بررسی هستند. آنها بیشتر شامل آمفیبول با چند

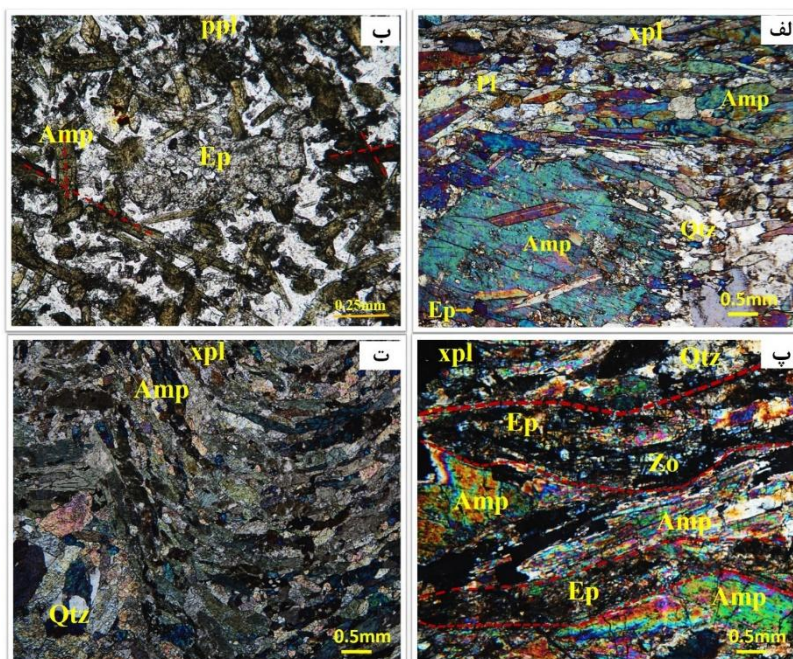
آمفیبولیت‌ها پس از شست‌ها، به تدریج با گستردگی بیشتر ظاهر شده‌اند. این سنگ‌ها بیشتر به شکل توده‌ای و گاهی به شکل دایک رخمون یافته‌اند. انواع ساخت‌ها از جمله تورق گنیسی، تورق کنگره‌ای، برگوارگی و جهت یافتگی در آنها به خوبی دیده شده است. برگوارگی‌ها با ترکیبی از پلاژیوکلاز و آمفیبول و جهت یافتگی‌ها به طور عمده با دانه‌های کشیده



زنوئیت موجب تورق نواری در این نمونه‌ها شده است. دانه‌های درشت پلاژیوکلاز با ماکل چندریخت و دانه‌های کوچک و کم کوارتز نیز وجود دارند. یک همبری شامل کانی‌های آمفیبول، اپیدوت، پلاژیوکلاز، کوارتز، زنوئیت، کلریت و اسفن نیز در بین این سنگ‌ها تشخیص داده شد. با توجه به همبری‌های دیده شده در این سنگ‌ها، تصور می‌شود که سنگ مادر این نمونه‌ها سنگ‌های گابرویی و بازالتی باشند (شکل ۴).

**آمفیبولیت:** آمفیبولیت‌ها و اپیدوت آمفیبولیت‌ها بخش گسترده مجموعه‌های دگرگونی را تشکیل داده و حدود ۲ تا ۳ کیلومتر از منطقه را پوشش می‌دهند. با توجه به همبرزایی کانی‌ها و انواع آمفیبول‌های شناسایی شده، آمفیبولیت‌ها را می‌توان با درجه‌های مختلف دگرگونی تشخیص داد. عمده‌ترین همبری این سنگ‌ها (Fb-8 و Kg98. 4-3) شامل آمفیبول‌های با چندرنگی سبز-آبی و چندرنگی ضعیف رنگ سبز (۷۰-۵۰ درصد)، پلاژیوکلاز (۳۰-۱۰ درصد) و اپیدوت (کمتر از ۱ تا ۳ درصد) هستند. برخی نمونه‌ها شامل آمفیبول (۹۵ درصد) و کانی‌های فرعی و دگرسانی (کمتر از ۵ درصد) هستند. آمفیبولیت‌ها بیشتر بافت‌های دانه شکفتی و نخ شکفتی را نشان می‌دهند. این سنگ‌ها دارای برگوارگی و جهت یافتگی و گاهی بدون هیچ گونه برگوارگی و جهت یافتگی مشخصی هستند.

رنگی سبز-آبی (۵۳ درصد)، اپیدوت (۲۹ درصد)، پلاژیوکلاز (۱۶ درصد) و کوارتز تا ۲ درصد هستند (ES97.2.3). آمفیبول‌ها در این همبرزایی به صورت کشیده و سوزنی با چندرنگی سبز دیده می‌شوند و در برخی نقاط به صورت ضربدری هم را قطع می‌کنند. دانه‌های بسیار کوچک اپیدوت و زنوئیت با برجستگی بالا دیده می‌شوند که در بین آمفیبول‌ها قرار دارند. کانی‌های پلاژیوکلاز و کوارتز به صورت زمینه‌ای وجود دارند و در برخی نقاط، پلاژیوکلاز دانه‌های اپیدوت را در برگرفته است. بافت‌های نخ شکفتی، دیابلاستیک و غربالی از مهم‌ترین بافت‌های این سنگ‌ها هستند. همبری آنها شبیه سنگ‌های پیشین است و در کانی‌های روشن آنها کانی زیرکن نیز دیده می‌شود. در برخی همبری‌ها، مقدار آمفیبول بیشتر (۷۵ درصد)، مقدار پلاژیوکلاز کمتر (۱۲ درصد)، اپیدوت حدود ۱۰ درصد است و کوارتز دیده نمی‌شود و اسفن (۳ درصد) وجود دارد (Kg98. 4-1). در این همبری، آمفیبول‌ها بیشتر شکل‌دار با دو راستای رخ غیرعمود و جهت‌یافتگی کمتر دیده می‌شوند. اپیدوت‌ها به صورت دانه‌های کوچک روی آمفیبول‌ها و اسفن به صورت ثانویه در بین آنها دیده می‌شود. در برخی از همبری‌ها، آمفیبول‌هایی با چندرنگی ضعیف با رنگ سبز وجود دارند که اپیدوت و زنوئیت‌های بسیار در طول نوارهایی در کنار آن دیده می‌شود، در واقع تشکیل آمفیبول‌ها و اپیدوت-



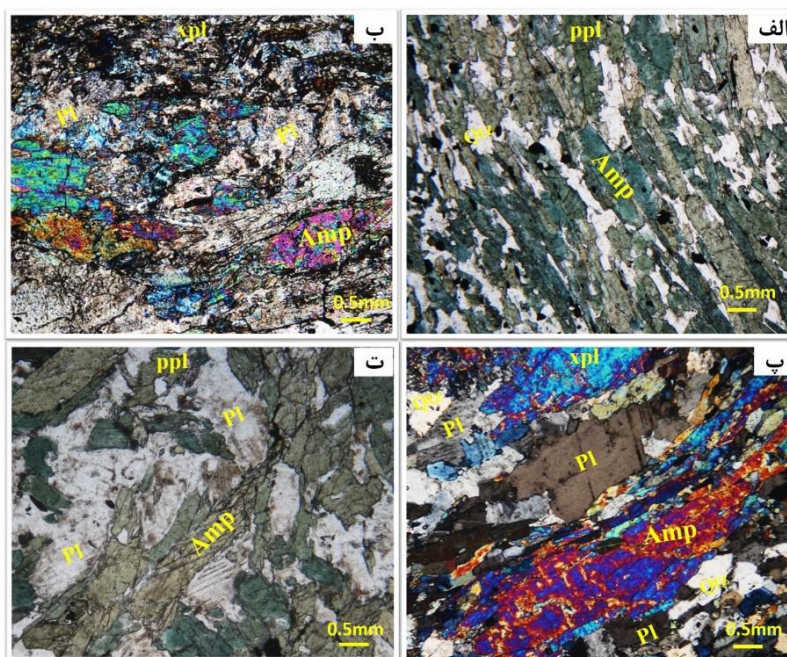
شکل ۴. تصاویر میکروسکوپی از اپیدوت آمفیبولیت‌ها: الف) بافت‌های غربالی و نخ شکفتی، ب) بافت دیابلاستیک (آمفیبول‌ها به صورت ضربدر قطع شده‌اند)؛ پ) تورق نواری و ت) تورق کنگره ای [اپیدوت (Ep)، زنوئیت (Zo)، کوارتز (Qtz)، آمفیبول (Amp)، پلاژیوکلاز (Pl)].

با نخستین فاز دگرگونی دیده می‌شود که موجب جهت‌گیری ترجیحی کانی‌ها و شیشه‌وارگی شده است. همچنین فاز دگرشکلی دوم نیز قابل تشخیص بوده که باعث تشکیل ریزچینهایی چون تورق کنگره‌ای شده است؛ فاز دوم دگرشکلی به احتمال بسیار در زمان برخورد صفحه‌های عربی و سندج- سیرجان رخ داده است.

#### شیمی کانی

تغییر مجموعه کانی‌های سنگ‌های آتشفشانی مافیک دگرگون شده، مدت‌هاست که به عنوان شاخص درجه دگرگونی به کار می‌رود. انتقال اکتینولیت به هورنبلند و اولین ظهور اولیگوکلاز به جای آل بیت خالص، به طور کلی برای تعریف گذار رخساره شیشه‌ای سبز به آمفیبولیت استفاده می‌شود [۱۴]. تغییر ترکیب آمفیبول‌ها به عنوان شاخص فشار و همچنین دما به کار رفته است. مشخص شده است که آمفیبول‌های سنگ‌های مافیک سری رخساره‌های پرفشار [۱۵] غنی از گلوکوفان هستند و پیشنهاد شده است [۱۶] که حتی سنگ‌های سری رخساره‌های باروین (فشار متوسط) ممکن است که دارای گلوکوفان بیشتری باشند. ویژگی‌های دیگری که برای تشخیص آمفیبول‌های کم فشار از فشار متوسط استفاده شده‌اند عبارتند از  $AI^{VI}$  پایین آنها [۱۷-۲۰] و مقدار  $Na^A$  (ادنیت) بالاتر آنها [۲۰، ۲۱]. در این جا آمفیبول‌های فشار پایین تا متوسط بررسی شده‌اند.

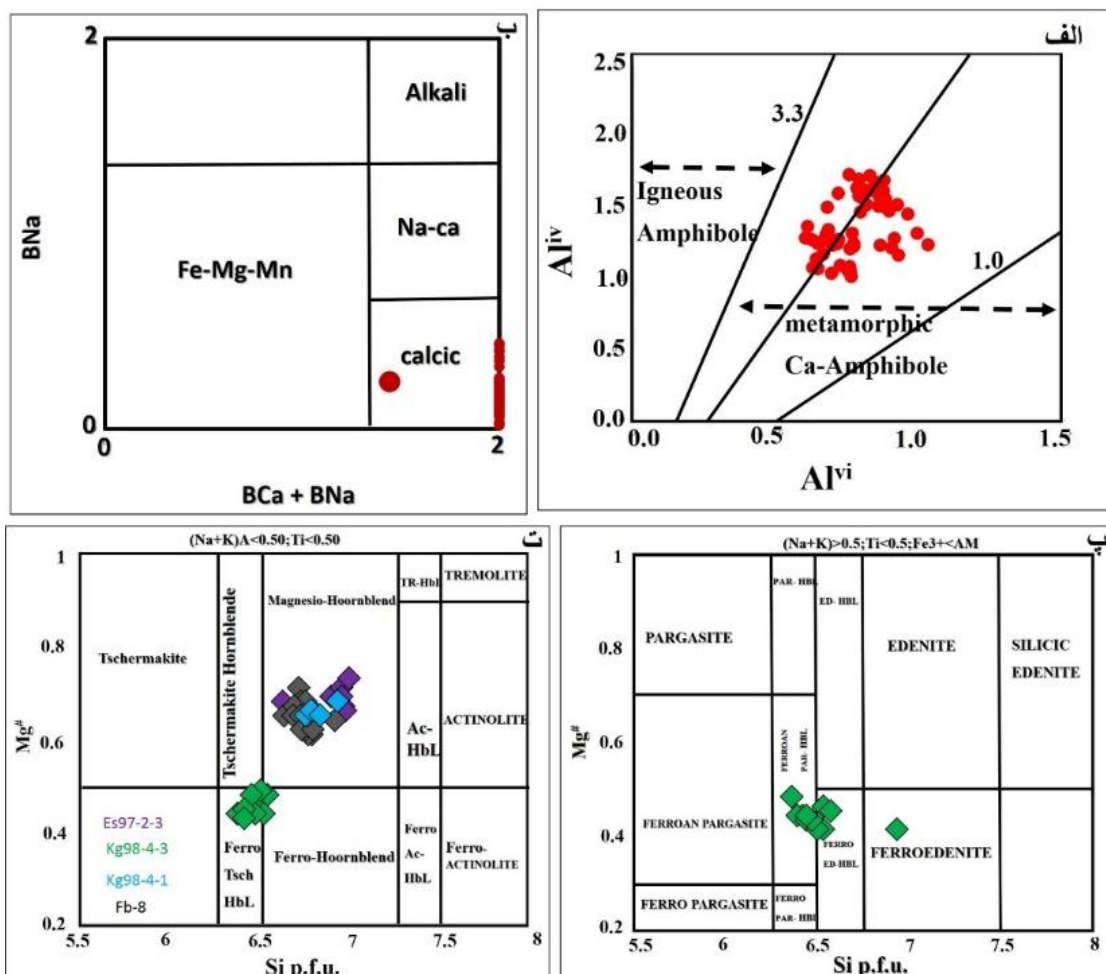
آمفیبول‌ها اغلب به صورت شکل دار و شکفته بلورهای منشوری یا کشیده هستند. پلاژیوکلازها اغلب بدون ماکل و گاهی دارای ماکل چندریخت هستند. آنها فرآورده‌های دگرسانی گسترده‌ای از جمله سوسوریت و سیرسیت را نشان می‌دهند، در برخی از آمفیبولیت‌ها، پلاژیوکلاز نادر است یا در مجموعه وجود ندارد. اسفن در برخی نمونه‌ها به صورت ثانویه از مقادیر کم (۱ درصد) تا بیشتر و در برخی نمونه‌ها تا ۱۰ درصد نیز تشکیل می‌شود. با حرکت به سمت مرز پریدوتیت‌ها، با کاهش و یا ناپدید شدن دانه‌های اپیدوت و زئوزیت و همچنین وجود چندرنگی خوب سبز- آبی آمفیبول‌ها، می‌توان افزایش فشار را در آمفیبولیت‌ها تشخیص داد. در این سنگ‌ها تورق‌های گنیزی و کنگره‌ای بسیار دیده می‌شود (شکل ۵). با توجه به همبندی‌های مشخص شده در این سنگ‌ها، سنگ مادر این سنگ‌ها را می‌توان بیشتر بازالتی و کمتر گابرویی معرفی کرد. با توجه به نتایج بیان شده و ویژگی‌های ریزساختاری، دو فاز دگرگونی و دو فاز دگرشکلی برای این سنگ‌ها قابل تشخیص است. فاز دگرگونی اصلی که به احتمال بسیار مربوط به پیش از برخورد صفحه‌ها بوده و در زمان کرتاسه پسین رخ داده و باعث تشکیل کانی‌های اصلی دگرگونی چون آمفیبول، پلاژیوکلاز و اپیدوت-زئوزیت شده است؛ سپس، فاز دگرگونی قهقرایی باعث ایجاد کانی‌هایی چون اسفن ثانویه، کلریت و بیوتیت شده است. در بررسی‌های میکروسکوپی، یک فاز دگرشکلی اولیه همزمان



شکل ۵ تصاویر میکروسکوپی از آمفیبولیت‌ها: الف) تورق کنگره‌ای در آمفیبولیت‌های با چند رنگی سبز-آبی؛ ب) بافت نخ شکفتی، پ) تورق گنیزی و ت) پلاژیوکلازهای تقریباً دگرسان در آمفیبولیت، [آمفیبول (Amp)، پلاژیوکلاز (Pl)، گارنت (Gr)، کوآرتز (Qtz)، کلریت (Chl)].

Si بین ۶ و ۷ اتم در واحد فرمولی (p.f.u.) متغیر است. مقادیر Mg<sup>#</sup> در آمفیبول‌ها اغلب بین ۰/۴۵ تا ۰/۷۲ است. **پلاژیوکلاز:** در آمفیبولیت‌های مجموعه فاریاب، فلدسپات‌ها در اصل غنی از پلاژیوکلاز هستند و از آلبیت و اولیگوکلاز تشکیل شده‌اند (شکل‌های ۷ الف، ب و ت؛ جدول ۲). در آمفیبولیت‌ها، مقدار متوسط آنورتیت بیش از ۲۰ درصد مولی است و به تدریج به ۸ درصد مولی کاهش می‌یابد، به طوری که در برخی آمفیبولیت‌ها، بیشترین مقدار آنورتیت در پلاژیوکلازها ۲۷ درصد محاسبه شده‌است. مقدار متوسط آنورتیت در پلاژیوکلازهای برخی از اپیدوت-آمفیبولیت‌ها ۲۵ درصد بوده که مربوط به الیگولاز است (شکل ۷ پ).

**آمفیبول:** بر اساس نمودار Al<sup>vi</sup> نسبت به Al<sup>iv</sup> [۲۲]، همه بلورهای آمفیبول به عنوان آمفیبول‌های نوع دگرگونی رده بندی می‌شوند (شکل ۶ الف). بر پایه رده‌بندی مراجع [۲۳]، ترکیب بلورهای آمفیبول در همه آمفیبولیت‌ها و اپیدوت آمفیبولیت‌های مجموعه فاریاب (جدول ۱) اغلب غنی از کلسیم است (شکل ۶ ب) و بیشتر بلورهای آمفیبول و نسبت اعضای پایانی آنها در اپیدوت آمفیبولیت‌ها و برخی از آمفیبولیت در گروه مگنزیو هورنبلند قرار می‌گیرند. این در حالی است که در برخی از آمفیبولیت‌ها، بلورهای آمفیبول و اعضای پایانی آنها در گروه فروچرماکیت-هورنبلند و همچنین در گروه‌های فروپاراگاسیت هورنبلند، فرو ادنیت هورنبلند و فرو ادنیت قرار می‌گیرند (شکل‌های ۶ پ و ت). چنانکه دیده می‌شود، مقدار



شکل ۶ الف) تفکیک آمفیبول‌های آذرین و دگرگونی [۲۲]؛ ب، پ و ت) رده‌بندی و نامگذاری آمفیبول‌ها بر پایه ترکیب شیمیایی آنها [۲۳، ۲۴].



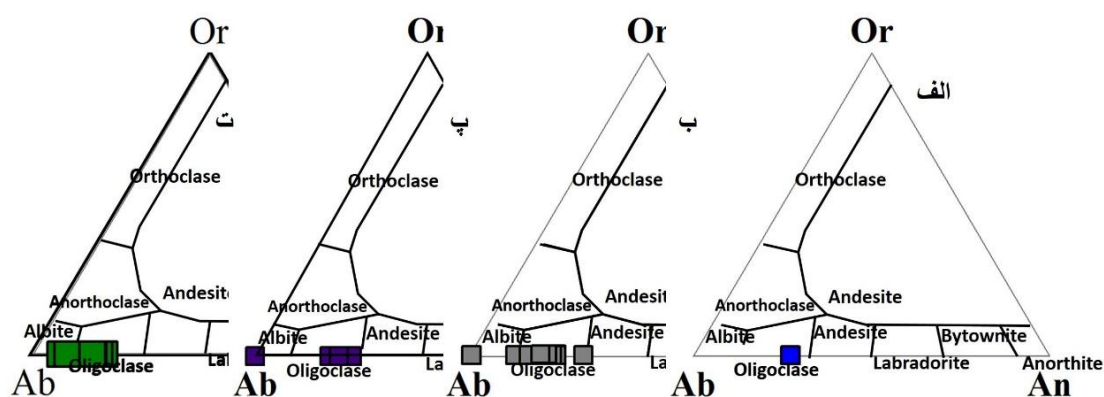
جدول ۱ ترکیب شیمیایی آمفیبول‌های تجزیه شده و فرمول ساختاری آنها بر اساس ۲۳ اتم اکسیژن در اپیدوت آمفیبولیت (Es97. 2-3, Kg98. 4-3, Kg98. 4-3, Fb-8).

	Kg98. 4-3					Kg98.4.1		
	۱	۲	۳	۴	۵	۱	۲	۳
SiO	۴۲٫۳۱	۴۲٫۱۲	۴۱٫۳۲	۴۴٫۳۲	۴۲٫۳۴	۴۶٫۳۳	۴۶٫۹۰	۴۶٫۹۵
TiO <sub>2</sub>	۰٫۴۵	۰٫۳۷	۰٫۳۳	۰٫۵۹	۰٫۴۸	۰٫۴۳	۰٫۴۸	۰٫۵۱
Al <sub>2</sub> O <sub>3</sub>	۱۳٫۶۳	۱۳٫۱۵	۱۳٫۹۲	۱۳٫۶۵	۱۳٫۲۱	۱۲٫۱۱	۱۱٫۸۲	۱۲٫۳۷
Cr <sub>2</sub> O <sub>3</sub>	۰٫۰۴	۰	۰	۰٫۰۱	۰٫۰۶	۰٫۰۹	۰٫۰	۰٫۱۲
FeO	۱۸٫۲۳	۱۸٫۶۶	۱۸٫۷۴	۱۸٫۴۲	۱۸٫۳۶	۱۱٫۹۲	۱۲٫۷۶	۱۱٫۰۵
MnO	۰٫۱۸	۰٫۲۷	۰٫۲۳	۰٫۲	۰٫۱۸	۰٫۲۷	۰٫۲۸	۰٫۱۷
MgO	۸٫۰۲	۷٫۷۵	۷٫۴۱	۸٫۲۴	۸٫۱۱	۰٫۰۵	۰٫۰۱	۰٫۰۶
CaO	۱۲٫۲۵	۱۱٫۴	۱۱٫۳	۱۱٫۷۳	۱۱٫۶۳	۱۱٫۹۱	۱۲٫۱۶	۱۲٫۲۵
Na <sub>2</sub> O	۱٫۹۸	۱٫۸۹	۲٫۲۹	۱٫۹	۲٫۱۷	۱۱٫۸۳	۱۲٫۲۱	۱۲٫۰۱
K <sub>2</sub> O	۰٫۱۴	۰٫۱۷	۰٫۱۵	۰٫۱۲	۰٫۰۵	۱٫۷۷	۱٫۷۰	۱٫۸۷
مجموع	۹۷٫۲۳	۹۵٫۷۸	۹۵٫۶۹	۹۹٫۱۸	۹۷٫۵۹	۹۶٫۸۴	۹۸٫۴۵	۹۷٫۷۶
فرمول	(O)۲۳	(O)۲۳	(O)۲۳	(O)۲۳	(O)۲۳	(O)۲۳	(O)۲۳	(O)۲۳
Si	۶٫۳۶	۶٫۴۲	۶٫۳۳	۶٫۵	۶٫۴۸	۶٫۷۷	۶٫۷۶	۶٫۷۹
Ti	۰٫۰۵	۰٫۰۴۲	۰٫۰۳۸	۰٫۰۶۵	۰٫۰۵۴	۰٫۰۴۷	۰٫۰۵۱	۰٫۰۵۶
Al <sup>IV</sup>	۱٫۶۱	۱٫۵۸	۱٫۶۷	۱٫۵۱	۱٫۵۲	۱٫۲۳	۱٫۲۴	۱٫۲۱
Al <sup>VI</sup>	۰٫۸۱	۰٫۷۸	۰٫۸۴	۰٫۸۵	۰٫۸۱	۰٫۸۶	۰٫۷۷	۰٫۹
Cr	۰٫۰۰۵	۰٫۰	۰٫۰	۰٫۰۰۱	۰٫۰۰۷	۰٫۰۱۱	۰٫۰	۰٫۰۱۳
Fe <sup>+3</sup>	۰٫۱۲۱	۰٫۳۹۶	۰٫۳۳۸	۰٫۲۷۷	۰٫۲۳	۰٫۰۳۸	۰٫۱۰۳	۰٫۰
Fe <sup>+2</sup>	۲٫۱۸	۱٫۹۸	۲٫۰۶۲	۱٫۹۸	۲٫۰۷	۱٫۴۱۸	۱٫۴۳۴	۱٫۳۳۶
Mn	۰٫۰۲۳	۰٫۰۳۵	۰٫۰۳	۰٫۰۲۵	۰٫۰۲۳	۰٫۰۳۳	۰٫۰۲۵	۰٫۰۲۱
Mg	۱٫۸۰۵	۱٫۷۶	۱٫۶۹	۱٫۸	۱٫۸۱	۲٫۶	۲٫۶۱	۲٫۶۴
Ca	۱٫۹۸	۱٫۸۶	۱٫۸۵	۱٫۸۴	۱٫۸۶	۱٫۸۵	۱٫۸۹	۱٫۸۶
Na <sup>M4</sup>	۰٫۰۱۸	۰٫۱۳۸	۰٫۱۴۶	۰٫۱۵۹	۰٫۱۴	۰٫۱۴۷	۰٫۱۱۵	۰٫۱۴
Na <sup>A</sup>	۰٫۵۶۱	۰٫۴۲	۰٫۵۳	۰٫۳۸	۰٫۴۹	۰٫۳۵	۰٫۳۶	۰٫۳۹
K	۰٫۰۲۷	۰٫۰۳۳	۰٫۰۲۹	۰٫۰۲۲	۰٫۰۱	۰٫۰۲۳	۰٫۰۲۴	۰٫۰۱۹
مجموع	۱۵٫۵۸	۱۵٫۴۴	۱۵٫۵۶	۱۵٫۴۱	۱۵٫۵۰	۱۵٫۳۷۹	۱۵٫۳۸۹	۱۵٫۳۷۲
Mg(Mg+Fe <sup>2+</sup> )	۰٫۴۵	۰٫۴۷	۰٫۴۵	۰٫۴۸	۰٫۴۷	۰٫۶۵	۰٫۶۵	۰٫۶۶

## ادامه جدول ۱

	ES97.2.3					Fb-8				
	۱	۲	۳	۴	۵	۱	۲	۳	۴	۵
SiO <sub>2</sub>	۴۷٫۳۳	۴۶٫۱۳	۱۹	۴۹٫۴	۴۶٫۸۰	۴۶٫۴۹	۴۶٫۴۹	۴۷٫۰۲	۴۷٫۰۷	۴۷٫۰۷
TiO <sub>2</sub>	۰٫۴۶	۰٫۳۹	۰٫۳۹	۰٫۴۲	۰٫۴۸	۰٫۴۸	۰٫۴۸	۰٫۵۳	۰٫۳۴	۰٫۳۴
Al <sub>2</sub> O <sub>3</sub>	۱۰٫۵	۱۱٫۴۹	۱۱٫۴۹	۱۰٫۸۹	۱۱٫۱۳	۱۱٫۰۸	۱۱٫۰۸	۱۱٫۱۴	۱۱٫۱۴	۱۱٫۱۴
Cr <sub>2</sub> O <sub>3</sub>	۰٫۰	۰٫۰	۰٫۰	۰٫۰	۰٫۰	۰٫۰۶	۰٫۰۶	۰٫۰۵	۰٫۰۱	۰٫۰۱
FeO	۱۱٫۳۶	۱۱٫۴۴	۱۱٫۴۴	۱۱٫۳۶	۱۳٫۹۴	۱۴٫۰۳	۱۴٫۰۳	۱۴٫۳۶	۱۳٫۷۷	۱۳٫۷۷
MnO	۰٫۳	۰٫۳۲	۰٫۳۲	۰٫۲۳	۰٫۲۷	۰٫۱۵	۰٫۱۵	۰٫۱۳	۰٫۲۶	۰٫۲۶
MgO	۱۲٫۶۱	۱۲٫۵۴	۱۲٫۵۴	۱۳٫۵۴	۱۲٫۳۵	۱۲٫۰۷	۱۲٫۰۷	۱۱٫۹۳	۱۲٫۲۷	۱۲٫۲۷
CaO	۱۲٫۳	۱۲٫۱	۱۲٫۱	۱۲٫۳۱	۱۰٫۹۵	۱۱٫۲۴	۱۱٫۲۴	۱۱٫۴۴	۱۱٫۶۰	۱۱٫۶۰
Na <sub>2</sub> O	۱٫۸۷	۱٫۵۹	۱٫۵۹	۱٫۴۹	۲٫۰۳	۲٫۰	۲٫۰	۱٫۹۵	۱٫۸۴	۱٫۸۴
K <sub>2</sub> O	۰٫۰۶	۰٫۱۹	۰٫۱۹	۰٫۱۱	۰٫۱۹	۰٫۲۳	۰٫۲۳	۰٫۱۹	۰٫۲۰	۰٫۲۰
مجموع	۹۶٫۷۹	۹۶٫۱۹	۹۶٫۰۶	۹۹٫۷۵	۹۸٫۱۵	۹۷٫۸۷	۹۷٫۸۳	۹۸٫۷۴	۹۸٫۵۵	۹۸٫۵۵
فرمول	(O)۲۳	(O)۲۳	(O)۲۳	(O)۲۳	(O)۲۳	(O)۲۳	(O)۲۳	(O)۲۳	(O)۲۳	(O)۲۳
Si	۶٫۹۱	۶٫۷۸	۶٫۹۵	۶٫۸۷	۶٫۷۲	۶٫۷۳	۶٫۷۶	۶٫۷۶	۶٫۷۵	۶٫۷۵
Ti	۰٫۰۵۱	۰٫۰۴۳	۰٫۰۴۴	۰٫۰۳۸	۰٫۰۵۲	۰٫۰۵۲	۰٫۰۵۷	۰٫۰۳۷	۰٫۰۶۲	۰٫۰۶۲
Al <sup>IV</sup>	۱٫۰۸۸	۱٫۲۲	۰٫۰۵۲	۱٫۱۴	۱٫۲۸	۱٫۲۷	۱٫۲۴	۱٫۲۵	۱٫۲۵	۱٫۲۵
Al <sup>VI</sup>	۰٫۷۲	۰٫۷۷	۰٫۷۵	۰٫۶۴	۰٫۶	۰٫۶۲	۰٫۶۴	۰٫۶۴	۰٫۶۵	۰٫۶۵
Cr	۰٫۰	۰٫۰	۰٫۰	۰٫۰	۰٫۰	۰٫۰۰۷	۰٫۰۰۵	۰٫۰۰۱	۰٫۰۰۵	۰٫۰۰۵
Fe <sup>+3</sup>	۰٫۰	۰٫۰۷۵	۰٫۰۷۴	۰٫۱۸	۰٫۶۱۵	۰٫۴۵۱	۰٫۳۸	۰٫۴۲	۰٫۲۸	۰٫۲۸
Fe <sup>+2</sup>	۱٫۳۹	۱٫۳۳	۱٫۲۶	۱٫۱۷	۱٫۱	۱٫۲۵	۱٫۳۴	۱٫۲۴	۱٫۴۴	۱٫۴۴
Mn	۰٫۰۳۷	۰٫۰۴	۰٫۰۲۷	۰٫۰۴۳	۰٫۰۳۳	۰٫۰۱۹	۰٫۰۱۵	۰٫۰۳۱	۰٫۰۲۶	۰٫۰۲۶
Mg	۲٫۷۵	۲٫۷۵	۲٫۸۴	۲٫۹۳	۲٫۶۴	۲٫۶۱	۲٫۵۶	۲٫۶۴	۲٫۵۴	۲٫۵۴
Ca	۱٫۹۲	۱٫۹	۱٫۸۶	۱٫۹۲	۱٫۶۸	۱٫۷۴	۱٫۷۶	۱٫۷۸	۱٫۸	۱٫۸
Na <sup>M4</sup>	۰٫۰۷۶	۰٫۰۹۶	۰٫۱۵	۰٫۰۸۴	۰٫۳۲	۰٫۲۶	۰٫۲۴	۰٫۲۲	۰٫۲۰	۰٫۲۰
Na <sup>A</sup>	۰٫۴۵	۰٫۳۶	۰٫۲۶	۰٫۳۱	۰٫۲۵	۰٫۳۱	۰٫۳۰	۰٫۳	۰٫۳۶	۰٫۳۶
K	۰٫۰۱	۰٫۰۴	۰٫۰۲	۰٫۰۲	۰٫۰۳	۰٫۰۴	۰٫۰۴	۰٫۰۴	۰٫۰۴	۰٫۰۴
مجموع	۱۵٫۴	۱۵٫۴	۱۵٫۳	۱۵٫۴	۱۵٫۳	۱۵٫۳	۱۵٫۳	۱۵٫۳	۱۵٫۴	۱۵٫۴
Mg(Mg+Fe <sup>2+</sup> )	۰٫۶	۰٫۶۷	۰٫۶۹	۰٫۷۱	۰٫۷۱	۰٫۶۸	۰٫۶۶	۰٫۶۸	۰٫۶۴	۰٫۶۴





شکل ۷ الف، ب، ت) ترکیب فلدسپات در آمفیبولیت؛ (پ) ترکیب فلدسپات در اپیدوت آمفیبولیت [۲۵].

جدول ۲ ترکیب شیمیایی فلدسپات و فرمول ساختاری آنها بر اساس ۳۲ اتم اکسیژن در اپیدوت آمفیبولیت‌ها (Es97. 2-3, Kg98. 4-1) و آمفیبولیت‌ها (Fb-8, Kg98. 4-3).

	Kg98. 4-3					Es97. 2-3				
	۱	۲	۳	۴	۵	۱	۲	۳	۴	۵
SiO <sub>2</sub>	۶۵.۵۳	۶۳.۱۵	۶۳.۶۴	۶۵.۳۵	۶۶.۵۲	۶۱.۸۹	۶۱.۹۲	۶۳.۵۶	۶۲.۰۶	۶۱.۰۵
TiO <sub>2</sub>	۰	۰	۰	۰	۰	۰	۰	۰	۰	۰
Al <sub>2</sub> O <sub>3</sub>	۲۱.۵۴	۲۲.۴۶	۲۲.۴۶	۲۲.۶۵	۲۱.۳۹	۲۴.۰۳	۲۳.۶۱	۲۳.۲۹	۲۳.۶۱	۲۴.۴۸
FeO	۰	۰	۰	۰	۰	۰.۲	۰.۲۶	۰	۰	۰
CaO	۲.۶۳	۳.۸۴	۴.۲	۳.۵۶	۲.۲	۵.۵۵	۵.۲۴	۴.۶۶	۵.۴۷	۵.۳۵
Na <sub>2</sub> O	۱۰.۳	۹.۱۶	۹.۱۴	۹.۵۱	۱۰.۷۱	۸.۵	۸.۷۹	۹.۳۳	۸.۸۳	۸.۴۲
K <sub>2</sub> O	۰	۰	۰	۰	۰	۰	۰	۰	۰	۰.۰۳
مجموع	۱۰۰	۹۸.۶۱	۹۹.۴۴	۱۰۱	۱۰۰	۱۰۰	۹۹.۸۲	۱۰۰.۸	۹۹.۹۷	۹۹.۳۳
ف.م.ا	(O)۳۲	(O)۳۲	(O)۳۲	(O)۳۲	(O)۳۲	(O)۳۲	(O)۳۲	(O)۳۲	(O)۳۲	(O)۳۲
Si	۱۱.۵۳	۱۱.۲۹	۱۱.۲۹	۱۱.۳۸	۱۱.۵۹	۱۰.۹۷	۱۱	۱۱.۱۶	۱۱	۱۰.۷
Ti	۰	۰	۰	۰	۰	۰	۰	۰	۰	۰
Al	۴.۴۷	۴.۷۳	۴.۷	۴.۶۵	۴.۳۹	۵	۴.۹۵	۴.۸۲	۴.۹۴	۵.۱۵
Fe <sup>+2</sup>	۰	۰	۰	۰	۰	۰.۰۳	۰.۰۴	۰	۰	۰
Ca	۰.۵	۰.۷۴	۰.۸	۰.۶۶	۰.۴۱	۱.۰۵	۱	۰.۸۸	۱	۱
Na	۳.۵۱	۳.۱۸	۳.۱۴	۳.۲۱	۳.۶۲	۲.۹۲	۳	۳.۱۸	۳	۲.۹۱
K	۰	۰	۰	۰	۰	۰	۰	۰	۰	۰.۰۰۷
مجموع	۲۰	۱۹.۹۳	۱۹.۹۳	۱۹.۹۰	۲۰	۱۹.۹۹	۲۰	۲۰	۲۰	۲۰
An	۱۲.۳۷	۱۸.۸۱	۲۰.۲۵	۱۷.۱۴	۱۰.۱۹	۲۶.۵۱	۲۴.۷۸	۲۱.۶۳	۲۵.۵۰	۲۵.۹۴
Ab	۸۷.۶۳	۸۱.۱۹	۷۹.۷۵	۸۳.۸۶	۸۹.۸	۷۳.۴۹	۷۵.۲۲	۷۸.۳۷	۷۴.۵۰	۷۳.۸۸
Or	۰	۰	۰	۰	۰	۰	۰	۰	۰	۰.۱۷
Ca(Ca+Na)	۱۲	۱۹	۲۰	۱۷	۱۰	۲۷	۲۵	۲۲	۲۶	۲۶

ادامه جدول ۲

	Fb-8					Kg98. 4-1				
	۱	۲	۴	۶	۷	۸	۹	۱		
SiO <sub>2</sub>	۶۵.۲	۶۵.۴۷	۶۴.۶۶	۶۶.۲۱	۶۸.۷	۶۵.۸۱	۶۶.۸۹	۶۴.۳۶	۶۳.۹۲	
TiO <sub>2</sub>	۰	۰	۰.۰۳	۰.۰۸	۰.۰۲	۰	۰	۰.۰۳	۰	
Al <sub>2</sub> O <sub>3</sub>	۲۲.۲۸	۲۱.۵۶	۲۱.۷۷	۲۰.۳	۱۹.۱۵	۲۱.۴۳	۲۲.۳۷	۲۱.۸۸	۲۲.۵۸	
FeO	۰.۰۵	۰.۰۶	۰.۱۲	۰	۰.۰۲	۰.۰۲	۰.۰۳	۰.۰۸	۰.۰۴	
CaO	۳.۷	۳	۳.۴۸	۱.۸	۰.۰۵	۲.۷۷	۳.۶	۳.۷۲	۴.۲۵	
Na <sub>2</sub> O	۷.۲۲	۶.۸۲	۶.۰۷	۶.۸	۶.۷۸	۷.۶۸	۶.۷۴	۶.۴۲	۶.۵۱	
K <sub>2</sub> O	۰.۰۷	۰.۰۴	۰.۰۹	۰.۰۶	۰.۰۴	۰.۰۶	۰.۰۶	۰.۰۶	۰.۰۵	
مجموع	۹۸.۵۲	۹۷	۹۶.۲۲	۹۵.۲۵	۹۴.۷۶	۹۷.۷۷	۹۷.۶۹	۹۶.۵۴	۹۷.۴۵	
ف.م.ا	(O)۳۲	(O)۳۲	(O)۳۲	(O)۳۲	(O)۳۲	(O)۳۲	(O)۳۲	(O)۳۲	(O)۳۲	
Si	۱۱.۵۴	۱۱.۷۰	۱۱.۶۵	۱۱.۹۷	۱۲.۳۵	۱۱.۷۰	۱۱.۵۵	۱۱.۵۹	۱۱.۴۴	
Ti	۰	۰	۰.۰۰۴	۰.۰۱	۰.۰۰۳	۰	۰	۰.۰۰۳	۰	
Al	۴.۶۵	۴.۵۴	۴.۶۲	۴.۳۳	۴.۱	۴.۴۹	۴.۶۹	۴.۶۴	۴.۷۶	
Fe <sup>+2</sup>	۰.۰۰۷	۰.۰۰۹	۰.۰۲	۰	۰.۰۰۳	۰.۰۰۳	۰.۰۰۴	۰.۰۱	۰.۰۰۶	
Ca	۰.۷۰	۰.۵۹	۰.۶۷	۰.۳۵	۰.۰۱	۰.۵۳	۰.۶۹	۰.۷۱	۰.۸۳	
Na	۰.۴۸	۲.۳۶	۲.۱۲	۲.۳۸	۲.۳۶	۲.۶۵	۲.۳۳	۲.۲۴	۲.۲۶	
K	۰.۰۲	۰.۰۰۹	۰.۰۲	۰.۰۱	۰.۰۰۹	۰.۰۱	۰.۰۱	۰.۰۱	۰.۰۱	
Total	۱۹.۳۹	۱۹.۲۱	۱۹.۱	۱۹	۱۸.۸	۱۹.۴	۱۹.۲۷	۱۹.۲۲	۱۹.۳۱	
An	۲۱.۹۶	۱۹.۹۱	۲۳.۸۸	۱۲.۷	۰.۴	۱۶.۵۵	۲۲.۶۹	۲۴.۱۴	۲۶.۸۷	
Ab	۷۷.۵۵	۷۹.۷۸	۷۵.۳۸	۸۶.۸۰	۹۹.۲۱	۸۳	۷۶.۸۶	۷۲.۷۶	۷۳.۸۸	
Or	۰.۴۹	۰.۳۱	۰.۷۴	۰.۵۰	۰.۳۹	۰.۴۳	۰.۴۵	۷۵.۳۹	۰.۳۷	
Ca(Ca+Na)	۲۲	۲۰	۲۴	۱۳	۰.۴	۱۷	۲۳	۲۴	۲۷	

## تعیین دما و فشار

بر اساس نتایج سنگ نگاری و ویژگی‌های ترکیبی کانی‌های سنگ‌ساز، می‌توان فرض کرد که سنگ‌ها بیش از رخساره‌های آمفیبولیت دگرگونی نداشته‌اند. برای آمفیبول‌های نوع چرم‌اکت با مقادیر حدود ۱۰ درصد مولی و ترکیب پلاژیوکلاز، فشار بیش از ۹ کیلو بار نیست. از سویی، سنگ‌ها دارای کانی‌های ماگمایی چون پیروکسن و الیوین نیستند و این نشان می‌دهد که فشار کمتر از حدود ۴ کیلو بار نبوده است.

برای برآورد دما و فشار آمفیبولیت‌های مجموعه فاریاب از چند روش دما فشارسنجی استفاده شد و از آنجا که نتایج مربوط به مرکز و لبه کانی‌های مورد بررسی تفاوت کمی نشان می‌دهند، مقادیر فشار و دما به صورت یکسان در کانی‌های تشکیل دهنده سنگ در یک نقطه در نظر گرفته شده است، البته این مقادیر در نمونه‌های نقاط مختلف (نمونه‌های کنار سنگ‌های مادر و یا در فاصله‌های بیشتر از آن‌ها) تفاوت قابل ملاحظه‌ای دارند که در این جا بیان می‌شود.

**دما فشارسنجی آمفیبول-پلاژیوکلاز:** دمای جفت کانی‌های هورنبلند و پلاژیوکلاز با استفاده از دماسنج تجربی مرجع [۲۶] برآورد شد. در این روش، از پلاژیوکلاز و آمفیبول‌هایی استفاده شد که بر پایه تجزیه‌های ریزپردازشی، در تعادل با هم قرار گرفته‌اند. فشار با واسنجی‌های زمین فشارسنجی در جدول ۴ برآورد شد. براساس دماسنجی آمفیبول-پلاژیوکلاز، دما به طور متوسط در نمونه بدون کوارتز (Kg98. 4-3) که در کنار پریدوتیت‌ها قرار دارد، در گستره ۵۵۷/۵-۶۴۲ درجه سانتی‌گراد

و در نمونه‌های کوارتزدار از بخش‌های جنوبی‌تر و در دورترین فاصله از پریدوتیت‌ها ۵۹۳-۵۱۴ درجه سانتی‌گراد برآورد شد (جدول‌های ۳ و ۴).

**دما فشارسنجی آمفیبول:** دما و فشار آمفیبولیت‌ها با استفاده از صفحه گسترده دما فشارسنجی هورنبلند [۲۴]، دماسنج مرجع [۲۷] و فشارسنج مرجع [۲۸] تعیین شدند (جدول‌های ۳ و ۴). صفحه گسترده دما فشارسنجی هورنبلند، دما و فشار برای نمونه‌های کنار پریدوتیت‌ها (Kg98. 4-3) ۸-۶/۷ کیلو بار و ۵۶۸-۵۴۳ درجه سانتی‌گراد و در نمونه‌های با فاصله بیشتر از پریدوتیت‌ها ۶/۵-۳/۹ کیلو بار و ۵۱۵-۴۷۲ درجه سانتی‌گراد برآورد شدند. با استفاده از دماسنج مرجع [۲۷]، مقادیر ۶۵۰ درجه سانتی‌گراد برای نمونه Kg98. 4-1 و حدود ۷۰۰ درجه سانتی‌گراد برای نمونه Kg98. 4-3 (شکل ۸ الف) تعیین شد. با فشارسنج مرجع [۲۸]، مقادیر ۵ تا ۸/۵ کیلو بار برای این نمونه‌ها به دست آمد (شکل ۸ ب). براساس شکل ۸، نمونه Kg98. 4-3 یک آمفیبولیت کنار پریدوتیت‌ها (۶۲ متر) و نمونه Kg98. 4-1 یک اپیدوت آمفیبولیت در دورترین فاصله از پریدوتیت‌ها (۱/۷ کیلومتر) هستند.

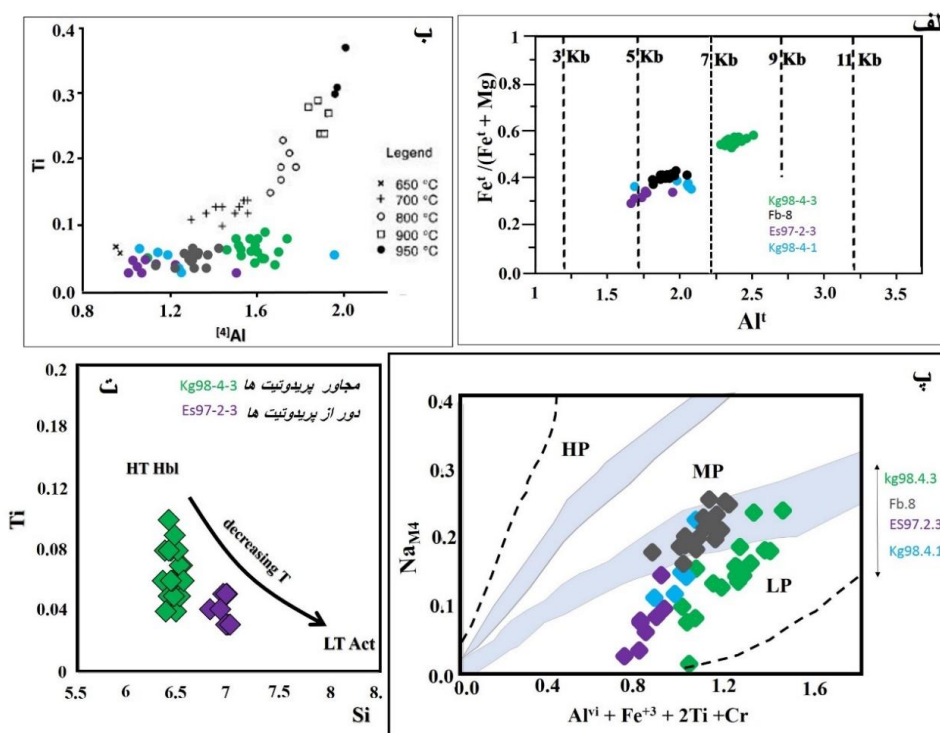
بر پایه فشارسنج‌های مراجع [۲۸-۳۱]، کمینه و بیشینه فشارها برای نمونه آمفیبولیت بدون کوارتز (Kg98. 4-3) در کنار پریدوتیت‌ها ۶/۳ تا ۹/۷ kb و برای سایر نمونه‌ها که دارای کوارتز و در فاصله‌های بیشتری از پریدوتیت‌ها هستند، ۳/۷ تا ۷/۱ kb محاسبه شدند (جدول‌های ۳ و ۴).

جدول ۳ نتایج دماسنجی آمفیبولیت (Kg98. 4-3، Fb-8) و اپیدوت آمفیبولیت‌های (Kg98. 4-1، Es97. 2-3) مجموعه فاریاب.

نمونه	T in °C				
	[۲۷]	[۲۳]	[۲۶]	متوسط	
Kg98-4-3	۷۰۰-۶۳۰	۵۶۸ - ۵۴۳	۵۵۷/۵- ۶۳۴ (۸/۲kb)	۵۶۵ – ۶۴۲(۹ kb)	۶۳۶-۵۷۳
Fb-8	۶۲۵-۵۴۵	۵۱۱ - ۴۸۶	۵۸۰ (۵/۷ kb)	۶۵۰ (۶/۹ kb)	۵۹۲-۵۱۶
Kg98-4-1	۶۱۰-۵۰۰	۵۱۵ - ۴۷۳	۵۷۸ (۵/۱ kb)	۵۷۹ – ۵۹۷(۷ kb)	۵۷۵-۵۱۷
Es97-2-3	۵۷۵-۵۲۰	۵۰۷ - ۴۷۲	۵۱۴ – ۵۷۷(۵ kb)	۵۳۴ – ۵۹۳ (۶/۵ kb)	۵۶۳-۵۱۰

جدول ۴ نتایج فشارسنجی آمفیبولیت (Kg98. 4-3، Fb-8) و اپیدوت آمفیبولیت‌های (Kg98. 4-1، Es97. 2-3) مجموعه فاریاب.

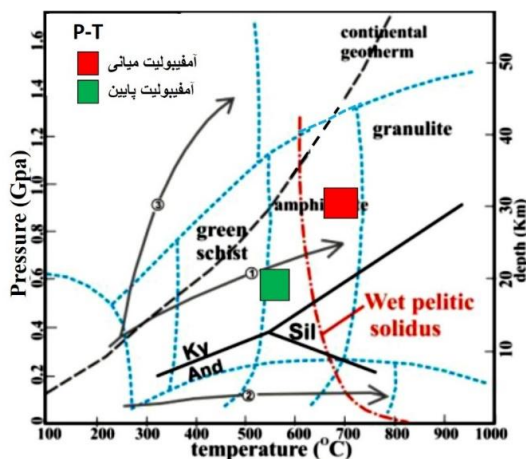
نمونه	P(Kb)					متوسط
	[۲۳]	[۳۱]	[۲۹]	[۳۰]	[۲۸]	
Kg98-4-3	۸-۶/۷	۷/۳-۶/۳	۹/۷-۸/۳	۹-۷/۸	۸/۳-۷/۳	۷/۲۸-۸/۴۶
Fb-8	۵/۵-۴/۴	۵/۳-۴/۳	۶/۹-۵/۵	۶/۵-۵/۲	۶/۳-۵/۲	۴/۹۲-۶/۱
Kg98-4-1	۶/۵-۴	۵/۵-۳/۸	۷/۱-۴/۸	۶/۷-۴/۷	۶/۵-۵	۴/۴۶-۶/۲۸
Es97-2-3	۵/۱-۳/۹	۵-۳/۷	۵/۴-۴/۷	۶-۴/۶	۶-۴/۸	۴/۳۴-۵/۵



شکل ۸. برآورد فشار و دما برای آمفیبولیت و اپیدوت آمفیبولیت‌های مجموعه فاریاب: (الف) برآورد فشار با فشارسنج تجربی مرجع [۲۸]، (ب) برآورد دما با دماسنج تجربی مرجع [۲۷]، (پ) نمودار  $Na_{M4}$  نسبت به  $Al^{VI} + Fe^{3+} + 2Ti + Cr$  نشانگر فشارهای پایین تا متوسط و (ت) نمودار  $Ti$  نسبت به  $Si$  نشانگر دماهای بالا تا متوسط را بر اساس ترکیب شیمیایی کانی آمفیبول نشان می‌دهد.

آمفیبولیت مجموعه فاریاب نشان می‌دهند که شیب زمین گرمایی بالا باید حتی در ابتدای دگرگونی در نظر گرفته شود. در نمودار  $p$ - $T$ ، شرایط ترمودینامیکی دگرگونی این سنگ‌ها با گستره رخساره آمفیبولیت پایین و آمفیبولیت بالا هم‌خوانی دارد (شکل ۹).

آمفیبولیت و اپیدوت آمفیبولیت‌های مجموعه فاریاب بر اساس نمودار  $Na_{M4}$  نسبت به  $Al^{VI} + Fe^{3+} + 2Ti + Cr$  کانی آمفیبول [۳۲]، گستره‌های فشار پایین تا متوسط را نشان می‌دهند (شکل ۸ پ) و کاهش به نسبت پیوسته  $Ti$  نسبت به  $Si$  گویای گستره‌های دمای متوسط تا بالاست (شکل ۸ ت). مسیرهای  $P$ - $T$  برای سنگ‌های آمفیبولیت و اپیدوت



شکل ۹. نمودار  $P$ - $T$  برای آمفیبولیت و اپیدوت آمفیبولیت مجموعه دگرگونی فاریاب که بر اساس گستره‌های دما و فشار رسم شده است.



## برداشت

۱. بر اساس بررسی های میکروسکوپی، سنگ های دگرگونی مجموعه فاریاب شامل اپیدوت شلیست، اپیدوت آمفیبول شلیست، آمفیبول شلیست، گارنت میکا شلیست، اپیدوت آمفیبولیت، آمفیبولیت و گارنت-آمفیبولیت هستند که آمفیبولیت ها و اپیدوت آمفیبولیت ها بیشترین گسترش را در مجموعه های دگرگونی این منطقه دارند.

۲. بررسی شیمی کانی نشان می دهد که آمفیبولیت ها بیشتر از کانی های آمفیبول، اپیدوت و پلاژیوکلاز تشکیل شده اند. بیوتیت و کلریت اغلب در لبه آمفیبول ها تشکیل می شوند. کانی های کوارتز، آپاتیت و کانی های کدر با فاز غالب اکسیدی تیتانیت به عنوان کانی های ثانویه تشکیل شده اند.

۳. ترکیب بلورهای آمفیبول در آمفیبولیت های منطقه از نوع کلسیمی و ترکیب شیمی آنها از مگنزیو-هورنبلند تا فروچرماکیت-هورنبلند و همچنین در گروه فروپاراگاسیت هورنبلند، فرو ادنیت هورنبلند و فرو ادنیت متغیر است. شیمی ترکیب پلاژیوکلاز در گستره آلبیت تا الیگوکلاز قرار دارد.

۴. فراوانی کانی هایی چون اپیدوت، زئوزیت و اسفن و از سویی، مقدار کم کوارتز و همچنین شیمی کانی نشان می دهند که سنگ مادر آمفیبولیت ها و اپیدوت آمفیبولیت های منطقه دارای مقادیر پسین کلسیم بوده و شبیه ارتوآمفیبولیت هاست؛ از این رو، می توان سنگ های مافیک آذرین چون بازالت و گابرو را برای آنها در نظر گرفت.

۵. مجموعه کانایی هورنبلند سبز-آبی + پلاژیوکلاز برای نمونه های آمفیبول دار نمایانگر دگرگونی در رخساره آمفیبولیت میانی و مجموعه هورنبلند + اپیدوت + پلاژیوکلاز و کوارتز برای نمونه های اپیدوت دار نشان دهنده دگرگونی در رخساره آمفیبولیت پایین هستند که نبود پیروکسن و محاسبه شیمی کانی ها نیز تایید کننده رخساره های دگرگونی است.

۶. براساس محاسبات دماسنجی به روش های مختلف، بیشترین دماها و فشارها مربوط به آمفیبولیت های کنار پردوتیت ها در بخش شمالی مجموعه بوده و ۷۰۰ درجه سانتی گراد و ۹/۷ کیلو بار هستند. البته به طور میانگین دماهای ۵۱۶ تا ۶۳۶ درجه سانتی گراد برای آمفیبولیت و دماهای ۵۱۰ تا

۵۷۵ درجه سانتی گراد برای اپیدوت آمفیبولیت ها به دست آمد. محاسبات فشارسنجی به ۵ روش انجام شد که میانگین فشار ۴/۹۲ تا ۸/۴۶ کیلو بار برای آمفیبولیت ها و ۴/۳۴ تا ۶/۲۸ کیلو بار برای اپیدوت آمفیبولیت ها را نشان دادند.

۷. مسیرهای P-T همراه با خطوط هم درجه نزدیک به هم بیانگر شیب زمین گرمایی بالا حتی در ابتدای دگرگونی است.

۸. شیمی کانی و محاسبات دما فشارسنجی در کنار جایگاه زمین ساختی مجموعه فاریاب در پهنه ساندج-سیرجان می تواند گویای یک مجموعه افزایشی-فرورانشی در یک پهنه فرورانشی نئوتتیس در زمان کرتاسه پسین باشند که شیبی به سمت شمال دارد و باعث شده است که سنگهای دما و فشار بالاتر روی انواع کم عمق تر قرار گیرند.

## قدردانی

از آقای دکتر Sergey Skublov از موسسه زمین شناسی و زمین زمان شناسی پرکامبرین RAS در کشور روسیه که در انجام تجزیه های نقطه ای کمک در خور توجهی به تیم پژوهشی ما داشته اند، همچنین از حمایت های مالی معاونت پژوهشی دانشگاه شهید بهشتی تقدیر و تشکر می شود.

## مراجع

- [1] Korpobst J., "Metamorphic Rocks and their geodynamic Significance", Blasié pascal University, clemont Ferrand, France, 109 p (2002).
- [2] Miyashiro A., "Metamorphic petrology", UCL Press, London, 404 P (1994).
- [3] Spear F.S., "Metamorphic phase equilibria and pressure-temperature-time paths", Mineralogical society of America, monograph Series. BookCrafters, Inc., Chelsea, Michigan, U.S.A, 799 P, (1993).
- [4] McCall G., Kidd R., "The Makran, Southeastern Iran: the anatomy of a convergent plate margin active from Cretaceous to Present", Geological Society, London, Special Publications, v. 10, no. 1, (1982), p. 387-397. doi:10.1144/GSL.SP.1982.010.01.26.
- [5] McCall G. J. H., "A summary of the geology of the Iranian Makran", Geol. Soc. Sp. Pub., 195, (2002), 147-204.

- [18] Kostyuk E.A., Sobolev V.S., "Paragenetic types of calciferous amphiboles of metamorphic rocks", *Lithos* 2: 6282, (1969).
- [19] Raase P., "Al and Ti contents of hornblende, indicators of pressure and temperature of regional metamorphism" *Contrib Mineral Petrol* 45:231516, (1974).
- [20] Laird J., Albee A.L., "Pressure, temperature and time indicators in mafic schist: their application to reconstructing the poly metamorphic history of Vermont", *Am J Sci* 281:127-175, (1981a).
- [21] Holland T.J.B., Richardson S.W., "Amphibole zonation in metabasites as a guide to the evolution of metamorphic conditions", *Contrib Mineral Petrol* 70:143-148, (1979).
- [22] Fleet M.E., Barnett R.L., "Aliv/Alvi partitioning in calciferous amphiboles from the Frood mine", Sudbury, Ontario. *Can. Mineral*, 16, (1978), 527-532.
- [23] Leake B.E., Woolley A.R., Arps C.E.S., Birch W.D., Gilbert M.C., Grice J.D., Hawthorne F.C., Kato A., Kisch H.J., Krivovichev V.G., Linthout K., Laird J., Mandarino J.A., Maresch W.V., Nickel E.H., Rock N.M.S., Schumacher J.C., Smith D.C., Stephenson N.C.N., Ungaretti L., Whittaker E.J.W., Youzhi G., "Nomenclature of amphiboles; Report of the Subcomm. on Amphiboles Intern" *Miner. Ass., Commiss. New Minerals and Mineral Names. Am. Mineral.*, 82: 1019-1037, (1997).
- [24] Leake B. E., Woolley A. R., Birch W. D., Burke E. A., Ferraris G., Grice J. D., Whittaker E. J., "Nomenclature of amphiboles: additions and revisions to the International Mineralogical Association's amphibole nomenclature", *Am Mineral*, 89, 883-887, (2004).
- [25] Deer W.A., Howie R.A., Zussman J., "An introduction to the rock-forming minerals" 2nd Ed., Prentice Hall Ed., Harlow, Essex, England; New York, NY, (1996), 498 pp.
- [26] Holland T.J.B., Blundy J.D., "Non-ideal interactions in calcic amphiboles and their bearing on amphibole plagioclase thermometry *Contributions to Mineralogy and Petrology*", 116, (1994), 433-447.
- [27] Ernst W.G., Liu J., "Experimental phaseequilibrium study of Al and Ti contents of
- [6] Hassanzadeh J., Wernicke B.P., "The Neotethyan Sanandaj-Sirjan zone of Iran as an archetype for passive margin-arc transitions", *Tectonics*, 35, (2016), doi:10.1002/2015TC003926.
- [7] Dorani M., Arvin M., Oberhänsli R., Omrani H., Dargahi S., "The study of mineral chemistry, detection of metamorphic P-T and fluid activity calculation of calcsilicate in the Bajgan complex, Kerman province", *Scientific Quarterly Journal, GEOSCIENCES*, Vol. 29, (2020), No.115.
- [8] Morgan K.H., Bailey P.B.H., Camp J.S., Child R., Crick D.A., Dalai H., Mellett S.W., McCormick S.D., McKenzie A., Motamadi S., Peterson M.S., Pouyaei N., Porter D.J., Power P., Smith J.H., Swain S.R., White J.D., "Geological map of Minab, scale 1: 250000", Geological survey of Iran (1983).
- [9] Babakhani A. R., Alavi Tehrani "Sabzevaran geological map, scale 1/250000, Iran's, Geological and Mineral Exploration Organization, (1992).
- [10] Nazemzadeh Shoaie, M., Zamani Pedram, M., Padashi, S.M., "Pagodar geological map", scale 1/100000. geological survey and mineral exploration of Iran.
- [11] Sabzehei, M., Nazemzadeh Shoaie, M., Eshraghi, S.A., Roshan Ravan, J., 1994. Mohammad Abad map, 1: 100,000. Geological Survey of Iran.
- [12] Morgan, K.H., McCall, G.J.H., Huber, H., 1979. Geology Map of Kahnuj, Geology Survey of Iran, No. 7545, scale 1: 100,000.
- [13] Morgan, K.H., Huber, H., McCall, G.J.H., Samimi namin, M., 1980. Geological map of Now-Dez, Scale 1:100000. Geological Survey and Mineral Exploration of Iran.
- [14] Turner F.J., "Metamorphic petrology" McGraw-Hill, NY, 403 p, (1968).
- [15] Miyashiro A., "Evolution of metamorphic belts", *J Petrol* 2:277 311, (1961).
- [16] Brown E.H., "The crossite content of Ca-amphibole as a guide to pressure of metamorphism", *J Petrol* 18:53 72, (1977).
- [17] Leake B.E., "The relationship between tetrahedral aluminium and the maximum possible octahedral aluminium in natural calciferous and sub calciferous amphiboles", *Am Mineral* 50:843-851, (1965).

- [30] Hammarstrom J.M., Zen E., "Aluminum in hornblende: An empirical igneous geobarometer" American Mineralogist, 71, (1986), 1297-1331.
- [31] Johnson M.C., Rutherford M.J., "Experimental calibration of an aluminumin-hornblende geobarometer with application to Long Valley caldera (California) volcanic rocks", Geology, v. 17, (1989), p. 837- 841.
- [32] Laird J., Lanphere A., Albee A.L., "Distribution of Ordovician and Devonian metamorphism in mafic and pelitic schists from Vermont", American Journal of Science, 284, (1984), 376-416.
- Calcic amphibole in MORB-A semiquantitative thermobarometer*", American Mineralogist, 83, (1998), 952-969.
- [28] Schmidt M.W., "Amphibole composition in tonalite as a function of pressure: An experimental calibration of the Al-in-hornblende barometer", Contributions to Mineralogy and Petrology, 110, (1992), 304-310.
- [29] Hollister L.S., Grissom G.C., Pters E.K., Stowell H.H., Sisson V.B., "Confirmation of the empirical correlation of Al in hornblende with pressure of solidification of calc-alkaline plutons", American Mineralogist; v. 72; (1987), p. 231-239.